

九州大学 正員 山崎徳也

〃 学生員 石川信隆

〃 ○松隈秀信

1. 緒言 着者らは先にくり返し荷重を受ける連続ばかりの弾塑性解析について報告したが、本研究はこれに引き継ぎ一定軸力とくり返し曲げを受けるラーメンの弾塑性挙動を究明せんとするものである。既にかかる理論的および実験的研究は、羽倉氏より五十歳より若林・野中・松井氏らなどにおいて行われてあり、なかでも羽倉氏の論文は除荷時の応力分布決定法に除荷弹性域という概念を導入した異色ある研究といふるが、他面曲率が軸力と曲げモーメントの商数として解析的にえられないという難点を有している。

上記既往諸研究とは異なり、本研究は、まずBilinear型のくり返し応力-歪関係をモデル化することにより、曲率を曲げモーメントと軸力の商数として一般表示することに成功し、次いでこれを用いて一定軸力とくり返し水平荷重を受けるBeam-Columnの弾塑性挙動の解明を行ない、さうにくり返し荷重を受ける部材の弾塑性たわみ角式を誘導するとともにかかる部材をもつラーメンの弾塑性解析法の確立を企図するものである。

なお本論文では次のとおり仮定を用いる。

(i) 応力-歪関係はBilinear型とする。 (ii) 断面は変形後も常に平面を保持する。 (iii) 変形は微小とする。

2. 応力-歪関係の一般表示

全てのくり返し応力状態を包含する $\sigma - \epsilon$ 関係を図-1のごとき平行四辺形 ABCD にモデル化すれば、これら直線 AB, BC, CD, DA に対応する $\sigma - \epsilon$ 関係式はそれぞれ次式のごとく表わされる。

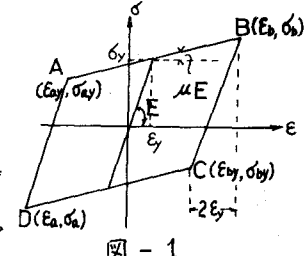


図-1

$$(1) Step 1 (AB部) \quad \sigma = \mu E (\epsilon - \epsilon_{ay}) + \sigma_{ay} = \mu E \{ \epsilon - (\epsilon_{ay} - \sigma_{ay}/\mu E) \}, \quad \epsilon_{ay} \leq \epsilon \leq \epsilon_a \quad (1)$$

ただし、 $\epsilon_{ay} = \epsilon_a + 2\epsilon_y$, $\sigma_{ay} = \sigma_a + 2\sigma_y$, $\epsilon_{ay}, \sigma_{ay}$: A 端の歪および応力,
 ϵ_a, σ_a : D 端の歪および応力

$$(2) Step 2 (BC部) \quad \sigma = E (\epsilon - \epsilon_a) + \sigma_a = E \{ \epsilon - (\epsilon_a - \epsilon_y/E) \}, \quad \epsilon_a \leq \epsilon \leq \epsilon_y \quad (2)$$

ただし、 $\epsilon_y = \epsilon_a - 2\epsilon_x$, $\sigma_y = \sigma_a - 2\sigma_x$, ϵ_x, σ_x : B 端の歪および応力,
 $\epsilon_{ay}, \sigma_{ay}$: C 端の歪および応力

$$(3) Step 3 (CD部) \quad \sigma = \mu E (\epsilon - \epsilon_{ay}) + \sigma_{ay} = \mu E \{ \epsilon - (\epsilon_{ay} - \sigma_{ay}/\mu E) \}, \quad \epsilon_a \leq \epsilon \leq \epsilon_{ay} \quad (3)$$

$$(4) Step 4 (DA部) \quad \sigma = E (\epsilon - \epsilon_y) + \sigma_y = E \{ \epsilon - (\epsilon_y - \sigma_y/E) \}, \quad \epsilon_y \leq \epsilon \leq \epsilon_a \quad (4)$$

ここで式(1)～式(4)を次式のごとく一般表示し、ただ係数内容のみを変化させることにする。

$$\text{すなはち, } \sigma = \bar{\mu} E \{ \epsilon - \bar{\epsilon} \} \quad (5)$$

ただし係数 $\bar{\mu}$ や $\bar{\epsilon}$ は表-1に示すごとく内容となる。

3. 曲げモーメントと軸力に対する曲率の関係

一定軸力 N とくり返し曲げモーメント M を受ける矩形断面の応力分布は、負荷、除荷、再負荷時の弹性および弾塑性状態に応じて各種の様相を呈するゆえ、一般にこれらの応力分布を直接求めることは困難である。しかし、仕事の応力状態 N やより M に対応する歪分布に着目し、引張側および圧縮側の最外縁歪を

	$\bar{\mu}$	$\bar{\epsilon}$
Step1($\epsilon_{ay} \leq \epsilon \leq \epsilon_a$)	1	$\epsilon_{ay} - \sigma_{ay}/\mu E$
Step2($\epsilon_a \leq \epsilon \leq \epsilon_y$)	1	$\epsilon_b - \sigma_b/E$
Step3($\epsilon_a \leq \epsilon \leq \epsilon_{ay}$)	1	$\epsilon_{ay} - \sigma_{ay}/\mu E$
Step4($\epsilon_y \leq \epsilon \leq \epsilon_a$)	1	$\epsilon_a - \sigma_a/E$

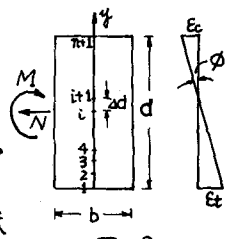


図-2

れをれば(>0)もよび(<0)とすれば、その歪分布は仮定(4)の平面保持の法則に基づいて図-2のよう
とくなら、したがって断面内に任意の高さ y における歪 ϵ は次式のごとく表わされる。

$$\varepsilon = \gamma/d \cdot (\varepsilon_c - \varepsilon_t) + \varepsilon_0 \quad \dots \quad (6)$$

よって、式(4)を式(5)に代入すれば断面内の任意の高さにおけるのが次式のごとくえられることがある。

$$\sigma = \bar{\mu} E(\varepsilon - \bar{\varepsilon}) = \bar{\mu} E [y/d(\varepsilon_0 - \varepsilon_t) + \varepsilon_t - \bar{\varepsilon}] \quad \dots \quad (7)$$

次いで内力と外力の釣合より任意の応力状態におけるMおよびNが式(7)を用いて次のことく算定される。

$$\left. \begin{aligned} N &= \int_0^d \sigma_y dA = \int_0^d \mu E \left[y/d \cdot (\epsilon_c - \epsilon_b) + \epsilon_b - \bar{\epsilon} \right] dA \\ M - Nd/2 &= - \int_0^d \sigma_x dA = - \int_0^d \mu E \left[y/d \cdot (\epsilon_c - \epsilon_b) + \epsilon_b - \bar{\epsilon} \right] y dA \end{aligned} \right\} \quad (8)$$

式(1)の積分は、 π 、 θ が断面内の各處で異なる値となるゆえ、その積分値を近似的に求める必要があり、したがって断面を n 等分すれば、台形公式より式(1)は下記の式(2)になる。

$$\left. \begin{aligned} N &= E \cdot G \cdot d / 2 [a_1 \varepsilon_c + a_2 \varepsilon_c - a_3 \varepsilon_y] \\ M - N d / 2 &= E \cdot G \cdot d \cdot d / 6 [-c_1 \varepsilon_c - c_2 \varepsilon_c + c_3 \varepsilon_y] \end{aligned} \right\} \quad (1)$$

$$\begin{aligned} & \text{Case 1: } a_1 = \frac{2}{\gamma} \{ \bar{\mu}_{10} (1 - \gamma_{10}/d) + \bar{\mu}_{01} (1 - \gamma_{01}/d) \}, \quad a_2 = \frac{2}{\gamma} \{ \bar{\mu}_{10} \gamma_{10}/d + \bar{\mu}_{01} \gamma_{01}/d \}, \quad a_3 = \frac{2}{\gamma} \{ \bar{\mu}_{10} \bar{\epsilon}_1/\epsilon_1 + \bar{\mu}_{01} \bar{\epsilon}_{01}/\epsilon_1 \}, \\ & C_1 = \frac{2}{\gamma} \{ \bar{\mu}_{10} (2\gamma_{10}/d + \gamma_{01}/d) (1 - \gamma_{10}/d) + \bar{\mu}_{01} (\gamma_{10}/d + 2\gamma_{01}/d) (1 - \gamma_{01}/d) \}, \quad C_2 = \frac{2}{\gamma} \{ \bar{\mu}_{10} (2\gamma_{10}/d + \gamma_{01}/d) \gamma_{10}/d + \bar{\mu}_{01} (\gamma_{10}/d + 2\gamma_{01}/d) \gamma_{01}/d \}, \\ & C_3 = \frac{2}{\gamma} \{ \bar{\mu}_{10} (2\gamma_{10}/d + \gamma_{01}/d) \bar{\epsilon}_1/\epsilon_1 + \bar{\mu}_{01} (\gamma_{10}/d + 2\gamma_{01}/d) \bar{\epsilon}_{01}/\epsilon_1 \}, \quad y_{10} = (e-1)d, \quad ad = d+m \end{aligned}$$

$$\left. \begin{aligned} E_x &= (e_m M/M_y - e_n N/N_y - e) E_y \\ E_c &= (-f_m M/M_y + f_n N/N_y + f) E_y \end{aligned} \right\} \quad (40)$$

$$T_2 = T_1 \cdot L \quad A_C = A_1 C_2 - A_2 C_1, \quad E_M = d/d\delta \cdot A_2/A_C, \quad E_R = d/d\delta \cdot (3A_2 - 2C_2)/A_C, \quad E = (A_2 C_3 - A_3 C_2)/A_C,$$

$$f_m = d/d\delta \cdot a_1/a_c, f_n = d/d\delta \cdot (3a_1 - 2C_1)/a_c, f = (a_1 C_2 - a_2 C_1)/a_c, N_y = G_y + d, M_y = G_y + d^2/6$$

一方、曲率中は圖-2の歪分布より $\phi = (E_0 - E_c)/d$ となるゆえ、これに式(10)を代入すれば結局門檻の
中がMとNの商数として次式のじごとく説明される。

$$\phi = (g_M M/M_y - g_N N/N_y - \gamma) \Phi_y \quad \dots \quad (1)$$

$$\therefore g_M = (e_M + f_M)/2, \quad g_N = (e_N + f_N)/2, \quad g = (e + f)/2, \quad \Phi_y = 2\epsilon_y/d$$

さうに上式を文献(1)と同じく次式のじとく一般表示し、以後の解析に簡便ならしめる。

$$\phi = \bar{\pi}/EI(M - \bar{M}) \quad \dots \dots \dots \quad (2)$$

ただし $\bar{g}_M = g_M$, $\bar{M} = (g_N N/N_y + g) M_y / g_M$

式(42)の演算ではデータとして M , N を与えるが、当初で、 \bar{M} 中に含まれる \bar{N} 、 \bar{M} が未知なるゆえ、まず荷重または再負荷直前の曲げモーメント M_0 に対応する \bar{N}_0 を第1次近似値として用い、以後式(43), 式(44), 表-1を用うるくり返し計算により、 \bar{N}_0 , \bar{M} を決定することになる。

4. 一定軸力とくり返し水平力を受ける Beam-Column の弾塑性解析

図-3に示すごとき Beam-Column の B 端に一定軸力 P とへり返し水平力 $\pm P$ が作用するときの塑性解析を行なえば以下のとくである。

まずスパン l を n 等分すれば、第 i 項の曲げモーメント M_i は次式で表わされる。

$$M_i = -\left\{ \delta P(l-i\alpha l) + P(\delta - \sum_j \delta_j) \right\}, \quad \alpha l = L/m \quad \dots \quad (3)$$

次に第*j*点の第(*i*-1)点に対する相対たわみ δ_{ij} は中一法公式⁽¹⁾および式⁽²⁾, (3)を用い

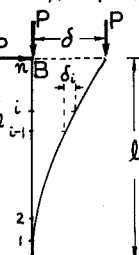


圖-2

て次式のごとく求められる。

$$\delta_i = -\frac{1}{2} \Delta l^2 \phi_i - \Delta l^2 \sum_j \phi_j$$

$$= \frac{1}{2} \Delta l^2 \bar{\tau}_0 / EI [\delta P (\ell - i \Delta l) + P (\delta - \frac{1}{2} \phi_i) + \bar{\tau}_i] - \Delta l^2 \sum_j \phi_j \quad \dots \quad (4)$$

一方、B端での水平変位 δ は $\delta = \sum_i \delta_i$ となるからこれに式(4)を代入し

て δ について解けば結局荷重の水平力係数 γ が次式のごとく求まる。

$$\gamma = \frac{8[1 - 1/2(\Delta l/l)^2 P^2 / EI \sum_i (-1)^{i+1} \bar{\tau}_{(m+i)} Y_m^{(m+i)}] - 1/2(\Delta l/l)^2 P^2 / EI \sum_i (-1)^{i+1} \bar{\tau}_{(m+i)} Y_m^{(m+i)} M_{m+i}/P}{1/2(\Delta l/l)^2 P^2 / EI \sum_i (-1)^{i+1} \bar{\tau}_{(m+i)} Y_m^{(m+i)}} \{ \ell - (m+1-i) \Delta l \} \quad \dots \quad (5)$$

$$\text{ここに } Y_m^{(m+i)} = 1/2 (\Delta l/l)^2 P^2 / EI \sum_i (-1)^{i+1} (2j-1) \bar{\tau}_{(m+i)} Y_m^{(m+i)} + (-1)^{i+1} (2i-1)$$

いま上記諸量の式(5)を用い、 $\gamma = 3.3 t/m$, $E = 2.1 \times 10^3 t/m^2$, 断面高さ-スパン比 $d/l = 0.1$, 軸力比 $N/N_y = 0.1$, $\alpha - \epsilon$ の勾配比 $\mu = 0.3$ の場合について数値計算を行なう。図-4はたわみ δ を $\pm 4t/m$ （即ち固定端降伏時のたわみ）まで負荷と除荷をくり返し、最後に $5t/m$ まで再負荷したときの $\delta - \delta$ 曲線である。

5. 一定軸力とくり返し荷重を受けける部材の弾塑性たわみ角式の説明

図-5に示すごとき弾塑性部材ABを考え、4.と同様に部材をn等分すれば、まず第i段までの曲げモーメントは次式のごとく表わされる。

$$M_i = M_{AB} (1 - i \Delta l/l) - M_{BA} i \Delta l/l + P (\frac{1}{2} \phi_i - R_i \phi_i) \quad \dots \quad (6)$$

次いで、第i段の第(i-1)段に対する相対たわみ θ_i および第i段のたわみ角 θ_B を一法公式より求めればそれが次式のごとく求まる。

$$\delta_i = -\frac{1}{2} \Delta l^2 \phi_i - \Delta l^2 \sum_j \phi_j + \Delta l \theta_A \quad \dots \quad (7)$$

$$\theta_i = -\Delta l \sum_j \phi_j + \theta_A \quad \left. \begin{array}{l} \text{ただし } \theta_A \text{ は A 端のたわみ角} \\ \text{たる} \end{array} \right\}$$

一方、B端でのたわみおよびたわみ角は $\delta = Rl = \sum_i \delta_i$ であり $\theta_B = -\Delta l \sum_j \phi_j + \theta_A$ となるから、これらに式(6), (7)を代入すれば δ および θ_B がそれぞれ次式のごとく求まる。

$$\delta = Rl = \Delta l^2 / EI [M_{AB} \lambda_{AB} - M_{BA} \lambda_{BA} - R P l \lambda_N - M_y \lambda_M] + l \theta_A \lambda_\theta \quad \dots \quad (8)$$

$$\theta_B = \Delta l / EI [M_{AB} \lambda_{AB} - M_{BA} \lambda_{BA} - R P l \lambda_N - M_y \lambda_M] + \theta_A \lambda_\theta \quad \dots \quad (9)$$

$$\text{ただし } \lambda_{AB} = 1/2 (\Delta l/l)^2 \sum_i (-1)^i \bar{\tau}_{(m+i)} Y_m^{(m+i)} \{ 1 - (n+1-i) \Delta l/l \}, \lambda_M = \lambda_N = 1/2 (\Delta l/l)^2 \sum_i (-1)^i \bar{\tau}_{(m+i)} Y_m^{(m+i)} (n+1-i) \Delta l/l,$$

$$\lambda_H = 1/2 (\Delta l/l)^2 \sum_i (-1)^i \bar{\tau}_{(m+i)} Y_m^{(m+i)} M_{(m+i)} / M_y, \lambda_\theta = \Delta l/l (n - 1/2 (\Delta l/l)^2 P^2 / EI \sum_i (-1)^i (2i-1) \Delta l/l + 1) t_i,$$

$$V_{AB} = \Delta l / l \sum_i (-1)^i \bar{\tau}_{(m+i)} Y_m^{(m+i)} \{ 1 - (n+1-i) \Delta l/l \}, V_{BA} = V_N = \Delta l / l \sum_i (-1)^i \bar{\tau}_{(m+i)} Y_m^{(m+i)} (n+1-i) \Delta l/l, V_H = \Delta l / l \sum_i (-1)^i \bar{\tau}_{(m+i)} Y_m^{(m+i)}$$

$$\times M_{(m+i)} / M_y, V_\theta = \{ 1 - P^2 / EI (\Delta l/l)^2 \bar{\tau}_0 \} t_i, Y_m^{(m+i)} = 1/2 (\Delta l/l)^2 P^2 / EI \sum_i (-1)^i (2j-1) \bar{\tau}_{(m+i)} Y_{(m+j)}^{(m+j)} + (-1)^{i+1} (2i-1),$$

$$Y_{(m+i)}^{(m+i)} = 1/2 (\Delta l/l)^2 P^2 / EI \sum_i (-1)^i \bar{\tau}_{(m+i)} Y_{(m+j)}^{(m+j)} + (-1)^{i+1}, t_i = -1/2 (\Delta l/l)^2 P^2 / EI \sum_i (-1)^i \bar{\tau}_{(m+i)} T_{(m+j)} + i - 1$$

式(8)を M_{AB}, M_{BA} について連立に解けば、結局荷重の弾塑性たわみ角式が次式のごとく説明される。

$$M_{AB} = EI / l (d_{AB} \theta_A + \beta_{AB} \theta_B + \gamma_{AB} R) + \zeta_{AB} M_y \quad \dots \quad (10)$$

$$M_{BA} = EI / l (\beta_{BA} \theta_A + d_{BA} \theta_B + \gamma_{BA} R) + \zeta_{BA} M_y \quad \dots \quad (11)$$

$$\text{ここに } \lambda_{AB} = \lambda_{BA} V_{AB} - \lambda_{BA} V_{BA}, d_{AB} = -(\lambda_{AB} V_{BA} - \lambda_{BA} V_{AB}) / \lambda_{AB}, \beta_{AB} = -\lambda_{AB} / \lambda_{AB}, \gamma_{AB} = \{ \lambda_{AB} (1 + P^2 / EI \lambda_N) - \lambda_{AB} P^2 / EI \lambda_M \} / \lambda_{AB},$$

$$\zeta_{AB} = (\lambda_{AB} V_{BA} - V_{AB} \lambda_{BA}) / \lambda_{AB}, \beta_{BA} = -(\lambda_{BA} V_{AB} - \lambda_{AB} V_{BA}) / \lambda_{BA}, d_{BA} = -\lambda_{BA} / \lambda_{BA}, \gamma_{BA} = \{ \lambda_{BA} (1 + P^2 / EI \lambda_N) - \lambda_{BA} P^2 / EI \lambda_M \} / \lambda_{BA}, \zeta_{BA} = (\lambda_{BA} V_{AB} - V_{AB} \lambda_{BA}) / \lambda_{BA}$$

6. くり返し荷重を受けるラーメンの弾塑性解釈法

上記説明の弾塑性たわみ角式を用いてのくり返し荷重を受けるラーメンの弾塑性解釈法は通常の弾性座屈撓角法と類似であり、以下具体例について解説することとする。

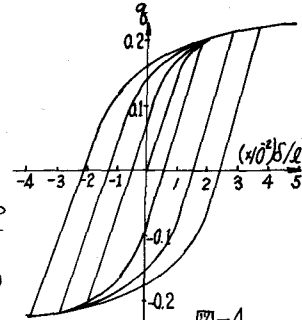


図-4

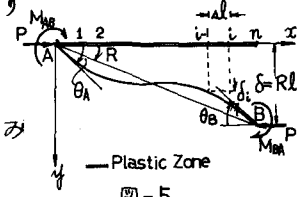


図-5

図-6に示すごとき内型ラーメンに一定軸力Pおよびくり返し水平力 $2qP$ が作用するときのたわみ δ と水平力係数 γ との関係を求めれば次のごとくである。

ラーメンの構造形式からみて荷重条件が逆対称であることを考慮すれば、まず端モーメント式(1)より次のごとく述べられる。

$$\begin{aligned} AB \text{材: } M_{AB} &= EI/l(P_{AB}\theta_B + \gamma_{AB}\delta/l) + \gamma_{AB}M_y \\ M_{BA} &= EI/l(\beta_{BA}\theta_B + \gamma_{BA}\delta/l) + \gamma_{BA}M_y \end{aligned} \quad \left. \right\} \quad (2)$$

$$BC \text{材: } M_{BC} = M_{CB} = EI/l(\beta_{BC} + \beta_{BC})\theta_B + \gamma_{BC}M_y$$

B点の節点方程式 $M_{BA} + M_{BC} = 0$ やすい層方程式 $M_{AB} + M_{BA} = -qPl - P\delta$ に式(2)を代入のうえ、 θ_B, δ について連立に解けば、所要の θ_B および δ がそれそれ求めじとくえられる。

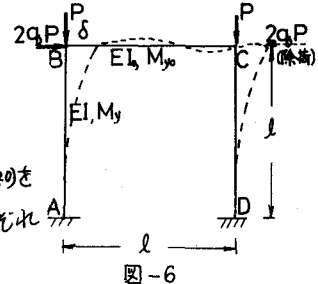


図-6

$$\begin{aligned} \theta_B &= -[\gamma_{AB}\delta/l + (\gamma_{AB} + \gamma_{BA})M_yl/EI]/(\beta_{BA} + \beta_{BC} + \beta_{AC}) \\ \delta &= -[EI/l\{(\beta_{AB} + \beta_{BA})\theta_B + (\gamma_{AB} + \gamma_{BA})\delta/l + (\gamma_{AB} + \gamma_{BA})M_y + P\delta\}/Pl] \end{aligned} \quad \left. \right\} \quad (2)$$

式(2)の演算法を述べれば以下のごとくである。

(1) まずデータとして $N/N_y, \gamma/E, d/l, \mu$ を用いて弹性解前を行なえば、A端の曲げモーメントの絶対値が最大であることが分かるゆえ、初期降伏荷重係数 γ_0 をすこしとりときのたわみ δ_0 が初期降伏の条件 $|M_{AB}| = (1 - N/N_y)M_y$ を用いて求められる。

(2) 次いでたわみ δ_0 を $\delta_0/(2\gamma_0)$ に増加させた状態に移行し、 δ_0 に対する θ を引き続き M_{AB}, M_{BA}, M_{BC} を弹性的に算出する。

(3) ここでえた θ , M_{AB}, M_{BA}, M_{BC} を用いて任意の曲げモーメント M_c を式(1)より算出し、これに対する δ をすこし δ_c を3で述べた方法により決定する。

(4)(3)の操作を $i=1$ へままで順次行ない、たわみ角の係数 $P_{AB}, \gamma_{AB}, \beta_{AB}, \gamma_{BA}, \beta_{BA}, \gamma_{BC}, \beta_{BC}, \gamma_{AC}$ を算定し、これらを式(2)に代入すれば所要の θ を θ_0 を δ_0 を δ 、引き続き式(2)より M_{AB}, M_{BA}, M_{BC} を算出する。

(5) (2)で仮定した δ と(4)でえた θ とが一致しなければ、再び(3), (4)の操作をくり返し、 δ が収束するまで行なう。

(6) さうに δ を増加させ(1, 2, 3, ...)上記(2)～(5)の操作をくり返し、さらに荷重を増す場合も同様の手法で行なう。以上の(1)～(6)を±4δまで負荷と除荷をくり返し演算すれば δ - θ 曲線がえられる。

7. 結言

本法によって一定軸力とくり返し荷重を受けるラーメンの弾塑性挙動が歪硬化の影響をも考慮して解明されることとなるが、さうに認めるべき特色としては、第1にBilinear型のくり返し応力-歪関係を平行四辺形にモデル化することにより、M-中肉厚式を解析的に一般表示可能ならしめたことであり、第2はこのM-中肉厚式を用いてくり返し荷重を受ける部材の弾塑性たわみ角式を導いたことである。

なお本法によればくり返し荷重を受けるアーチおよび山形ラーメンの弾塑性解析も可能となり、その適用範囲は極めて広汎な一般解法といいうる。

- 参考文献 ① 山崎石川松隈：くり返し荷重を受ける連続(柱)の弾塑性解析、土木学会第23回年次学術講演会概要、昭和43年10月
② 藤本・羽倉：繰返し荷重をうける鉄骨断面の弾塑性解析(Ⅰ)的研究、第1, 2, 3, 4, 5報、建築学会論報、第11, 12, 12, 12, 13号、昭和40.11, 41.3, 4, 6, 42.3、繰返し荷重をうける鋼構造物の歪硬化モデルを用いた弾塑性解析、建築学会論報、第145号、昭和43年3月、③ Igarashi, Taga, Takechi and Koyanagi: Plastic Behavior of Steel Frames under Cyclic Loadings, Trans. A.I.T. No. 130, Dec. 1966 ④ Wakabayashi, Nonaka, and Matsui: An Experimental Study on the Inelastic Behavior of Steel Frames Subjected to Vertical and Horizontal Loading, Bull. Inst. Phys. Sci. Kyoto Univ., Vol. 17, Part 2, No. 117, July, 1967